

## إزالة الفوسفات والأمونيا والنترات من مياه فضلات مجمع المستشفيات في الموصل بأسلوب الجرعة المتتابعة SBR

وعد محمد علي عباس

مدرس مساعد

فخرى ياسين محمود

أستاذ مساعد - كلية الهندسة - جامعة الموصل / العراق

### الخلاصة

استخدم في هذا البحث أسلوب المعالجة بأحواض الجريان بالجرعة ، Sequencing Batch Reactors الذي يمتاز بكلفة إنشاء أولية وتشغيل منخفضتين نسبياً، في معالجة نماذج من مياه فضلات مجمع المستشفيات الحكومي في الموصل. استخدمت في الدراسة أزمان دورة مختلفة تراوحت بين (6-24) ساعة وعلى مدى ستة أشهر. أجريت التجارب على العينات في مختبر البيئة التابع لقسم الهندسة المدنية في جامعة الموصل. تبين من الدراسة إن كفاءة إزالة الفوسفات من مياه الفضلات تعتمد على تبديل الظروف اللاوكسيجينية إلى الظروف الهوائية وتكون الكفاءة عند أعلى قيمة في حالة تساوي مدة هذين الظرفين. وإن إزالة النترات تعتمد على توافر الغذاء للأحياء المجهرية لكي تحول النترات إلى غاز النتروجين في الظروف اللاوكسيجينية ولهذا نسبة إزالتها متغيرة.

وعلى ضوء النتائج المستحصلة يمكن الاعتماد على هذا الأسلوب من المعالجة في إزالة الفوسفات والنترات والأمونيا من مياه فضلات المستشفيات وفي حالات التصريف القليل نسبياً، أو في حالات تذبذب معدلات التصريف اليومي حيث بلغت نسبة الإزالة 67% و 99% للفوسفات والأمونيا على التوالي

### الكلمات الدالة :

الفوسفات ، النترات ، مفاعلات الجرعة المتتابعة ، المعالجة البايولوجية ، مياة فضلات المستشفيات

## Removal of PO<sub>4</sub>, NH<sub>3</sub> and NO<sub>3</sub> from hospital wastewater in Mosul City by SBR technique

Fakhri Yassin Mahmood

Assist. Prof, eng. college mosul university

Waad mohammed ali abbas

Assist. lecturer

### Abstract

The sequencing batch reactor (SBR) method was used throughout this research, for the treatment of hospital waste water in mosul. This system has also the advantages of low initial and performance costs. Different time periods were used in this study ranging (6-24) hrs for 6 months . The tests has been conducted in the environmental laboratory of the civil engineering department at the university of Mosul. Efficiency of PO<sub>4</sub> removal from waste water depends on the change of anoxic conditions to aerobic. The efficiency is maximum when the periods of the two types of conditions are equal.. NO<sub>3</sub> removal depend on food supply for micro- organisms to convert nitrates to nitrogen gas under anoxic conditions so it is change able.

According to the results gained, this kind of treatment could be used to remove phosphates & nitrates from hospitals wastewaters, and could be used for other cases when the discharge is relatively low, or unstable percentages of removal were 67% & 99% for SO<sub>4</sub> & NH<sub>3</sub> relatively.

### Key Words :

phosphates , nitrates , sequencing batch reactor , biological treatment , hospital ww

**مقدمة:**

تتغير المطروحتات السائلة للمستشفيات كما ونوعا من وقت لأخر ومن فصل لأخر ، حيث يبلغ التصريف 300-1000 لتر/مريض/يوم. هذه المطروحتات فضلا عن طبيعة خصائصها المشابهة لخصائص المطروحتات المنزلية، فإنها تحتوي على مواد كيميائية سامة ومواد صيدلانية ونظائر مشعة ومضادات حيوية وأنواع الأحياء المجهرية المرضية (13).

إن عمليات الحماة المنشطة بأسلوب SBR هي نفس عمليات المعالجة التقليدية بأسلوب الحماة المنشطة ، فكلا النظامين يتضمن التهوية والتربيب والترويق ، والاختلاف فقط في المعالجة التقليدية يكون الجريان مستمرا وتتجز خطوات المعالجة في أحواض متتابعة في نفس الوقت بينما في أسلوب SBR فان المعالجة تتم في حوض واحد خلال مراحل متغيرة، وهذا يلغى الحاجة إلى أحواض التربيب والترويق ولا يحتاج إلى وسائل ترسيب الحماة، وتتألف المعالجة بطريقة SBR من تتابع سلسلة العمليات التالية وهي الملى ، التفاعل والتلوية، التربيب، سحب السائل المعالج ، توقف وسحب الحماة ومجموع هذه العمليات تسمى دورة واحدة في نظام مفاعلات الجرعة المتتابعة ، والزمن المستغرق لكل من هذه العمليات كنسبة مئوية من الزمن الكلي للدوره على النحو الآتي 25% ، 35% ، 20% ، 15% على التوالي (4).

تتم السيطرة على تشغيل نظام SBR بواسطة معالج دقيق Microprocessor يدعى بالمرآبات المنطقية المبرمجة PLC التي تتظم تتابع عمليات المعالجة كافة عن طريق تشغيل صمامات مجهزة بمحركات ، أو تشغيل بملف لوبي أو تعمل بالهواء المضغوط Pneumatic solenoid or motorized وتنظم أجهزة التهوية أو المزج وتسيطر على معدات الملى والتصرف عن طريق متحسسات المناسب level sensors ومؤقتات زمنية تلقائية Automatic timers Flow-meter ومقاييس الجريان.

وبحسب Metcalf & Eddy (2) فان المعالجة بأسلوب الجرعة المتتابعة SBR يحقق مكوث هيدروليكي بنسبة 100% للمياه المعالجة، بينما في أسلوب الجريان المستمر فان نسبة حوالي 39% من المياه الداخلة تغادر حوض المعالجة بوقت مكوث يقل عن نصف وقت المكوث النظري  $V/Q$  كما أن نسبة 13% من المياه تكث وتقا أطول من ضعف فترة المكوث النظري ، وهذا يؤدي إلى تبذب كفاءة المعالجة وهدر الوقت.

وبحسب Kerri (4)، فان الكلفة الأولية لإنشاء محطة SBR تكون غالبا اقل من الكلفة الأولية لإنشاء محطة الحماة المنشطة التقليدية (الجريان المستمر).

والهدف من هذا البحث هو دراسة خصائص المطروحتات السائلة لمجمع المستشفيات ومعالجة هذه المطروحتات باستخدام وحدة معالجة مختبرية بأسلوب مفاعلات الجرعة المتتابعة SBR ومحاولة تحديد الزمن المثالي الذي عنده تتحقق أفضل إزالة للفوسفات والنترات والامونيا ( $\text{NH}_3, \text{NO}_3, \text{PO}_4$ ) ضمن مدى زمن للدوره يتراوح بين 24 ساعة ، واقتصر على هذا الزمن لتحديد حجم العمل ثم مقارنة كفاءة هذا الأسلوب مع كفاءة محطة المعالجة القائمة.

**الدراسات السابقة**

بدأت التجارب باستخدام أسلوب حوض الجرعة المتتابع Sequencing Batch Reactor (SBR) في السبعينيات من القرن الماضي (6). تذبذب الجريان يؤثر سلبيا على أداء محطة المعالجة ، لذا يمكن الإفاده من أسلوب المعالجة بـ (SBR) في معالجة هذه المطروحتات السائلة (7). وكان من أسباب الابتعاد عن هذا الأسلوب في المعالجة سابقا حاجته إلى المرآبات المستمرة. ولكن تمت معالجة هذه المشكلة باستخدام المرآبات المنطقية المبرمجة PLC Programmable Logic Controllers (8). مما جعل هذا الأسلوب حلا مثاليا للمشاكل الحاصلة في الأسلوب التقليدي. فضلا عن الفائدة الاقتصادية المتحققة بالاستغناء عن حوض الترسيب الشانوي وحوض الموازنة ومضخات ترجيع الحماة (9). كما درس Irvine (10) كيفية التصنيع الرياضي لتصميم حجم حوض SBR والذي يتغير بدلاة التغير النسبي في معدل الجريان ومعامل سرعة التفاعل K والذي اعتبره مساويا لـ (0.024) واقترن معادلات لذلك.

وفي دراسة أخرى (7) لمعالجة مياه الفضلات بأسلوب SBR ، ذكر الباحثون أن استخدام حوض واحد في نظام SBR لمعالجة مياه الفضلات البلدية والصناعية هو الاختيار الأفضل لأنه يمنع نمو الطحالب الشائعة في أنظمة البرك، ويحقق إزالة ممتازة للـ BOD و SS.

كما قام آخرون (11) بدراسة الإزالة البالوليوحية للفوسفور في SBR، وتمت الدراسة على نموذج مختبري لمعالجة مياه فضلات مصطنعة بظروف تشغيلية افتراضية وذكر بان نزع النتروجين حصل في فترة

## محمود : إزالة الفوسفات والأمونيا والنترات من مياه فضلات مجمع المستشفيات في الموصل بأسلوب الجرعة...

الملء فقط، ولذلك كانت المياه الخارجة عالية النترات، وان التهوية الزائدة تطلق الفسفور المزالة بسبب خروج النظام عن خطة التشغيل المثالية لإزالة الفسفور.  
واقتصر جونز وأخرون (12) طريقة لتطوير عملية نزع النتروجين في نظام SBR.

### **أسلوب العمل و الفحوصات:**

أجريت الدراسة في مختبر البيئة التابع لقسم الهندسة المدنية / كلية الهندسة بجامعة الموصل. أخذت نماذج من مياه فضلات المستشفيات الحكومية وأجريت عليها التجارب المختبرية بمعالجتها هوائية" و لاهوائية" باستخدام نظام الحمأة المنشطة ذات الجرعة المتتابعة و باعتماد الجريان بالجرعة Batch flow و سميت بالمتتابعة للتتابع عمليات المعالجة في الحوض نفسه. نموذج الجهاز المختبرى الذى تمت بواسطته الدراسة مبين بالشكل (1) و تراوحت مدة الدورة بين (6 - 24) ساعة و بدرجة حرارة المختبر التي تراوحت بين (14 - 25) °م، وقد أدرجت خصائص مياه الفضلات الخام في الجدول رقم (1). كما أدرجت خصائص المياه المعالجة في جدول رقم (2)، إضافة إلى نتائج فحوصات المياه المعالجة في المحطة القائمة.

تم جلب النماذج بمعدل مرتين في الأسبوع من موقع بعد الدرئية الخشنة في محطة المعالجة القائمة في مجمع المستشفيات لمدة ستة أشهر ، وحفظت في جو بارد أو في الثلاجة عند الضرورة . تمت السيطرة على المراحل وأوقاتها عن طريق المراقبة المستمرة. وتم تحديد فترات الملىء والتفاعل والتراكم والتسرب والسحب والتوقف والانتقال من الظروف الهوائية إلى اللاهوائية أو بالعكس عن طريق السيطرة اليدوية المباشرة .  
وفيما يأتي توضيح لتصميم التجربة عند أزمان دورة 6، 12، 16، 24 ساعة على سبيل المثال والتي تم اعتمادها في إجراء التجارب استنادا إلى النسب المئوية للأرمنة المقترحة من قبل Kerri (4).

1- زمن الدورة = 6 ساعة

Idle	draw	Settle	React	Fill	
			Anoxic	Aerobic	anoxic
6	5.8	5	4	1.5	0

أخذ نموذج كل ساعة من المفاعل

2- زمن الدورة = 12 ساعة

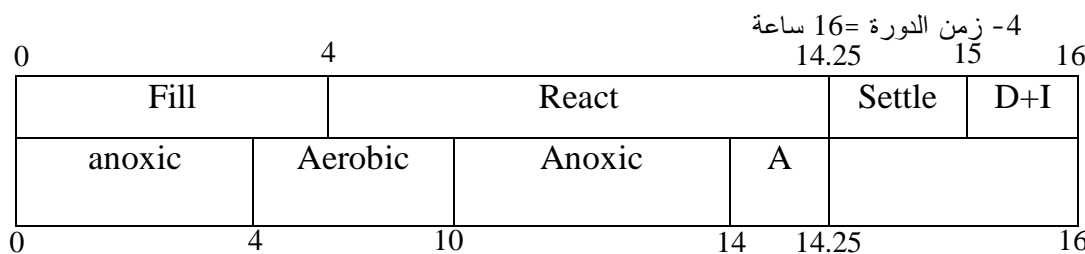
Idle	draw	Settle	React	Fill	
			Anoxic	Aerobic	anoxic
12	11.5	10.5	9	3.5	0

مع أخذ نموذج من المفاعل كل ساعة ونصف.

3- زمن الدورة = 24 ساعة

Draw + idle	Settle	React	Fill	
			Anoxic	Aerobic
24	22	20	8	0

أخذ نموذج كل ساعتين



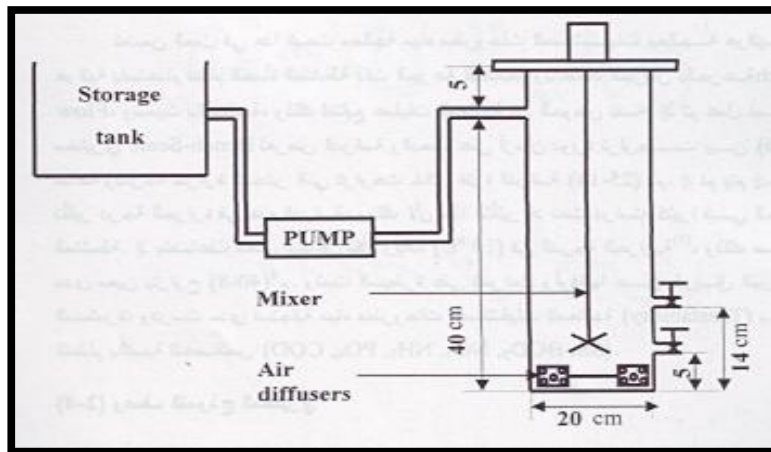
اخذ نموذج كل ساعة خلال الملح وكل ساعتين خلال التفاعل.

وبعد اخذ النماذج من المفاعل يتم ترسيبها ثم يتم إجراء الفحوصات لقياس تراكيز  $\text{PO}_4, \text{NO}_3, \text{NH}_3$  . وتمت السيطرة لإبقاء تركيز الحمأة المقاسة على هيئة الموادصلبة العالقة المتقطيرة (MLVSS) عند 2000 ملغم/لتر ، وكلما زاد التركيز ووصل إلى (2200) ملغم/لتر تقريبا يتم الطرح لإبقاء على تركيز 2000 ملغم/لتر . ولغرض تحقيق حالة الاستقرار في نظام المعالجة فقد تم اخذ النماذج والقياسات بعد مرور (5-6) أيام من بداية التشغيل لكل زمن دورة أو بعد إجراء أي تغيير لحظة التشغيل (هوائية-لاهوائية).

وقد تم اعتماد الطرق القياسية (14) في إجراء الفحوصات . اجري فحص الامونيا ( $\text{NH}_3$ ) حسب الفقرة (417B) ، بطريقة المقارنة اللوئية او النسلرة Direct Nesslerization في حين اجري فحص الفوسفات ( $\text{PO}_4^{3-}$ ) حسب الفقرة (424E) بطريقة كلوريد القصديروز Stannou chloride باضافة مولبيدات الامونيوم إلى النموذج المرشح والمخفف والتي تكون محلولا معقدا مع الفوسفات ذات لون ازرق ، وتعتمد شدة لونه على تركيز الفوسفور فيه. أما فحص النترات ( $\text{NO}_3-\text{N}$ ) فقد اجري حسب الفقرة (418) بطريقة Ultraviolet screening spectrophotometric screening باضافة 1ml من حامض الهيدروكلوريك HCl مخفف. علما بان الفحوصات اجريت على نماذج مرشحة ومحففة ، وكان يتم ترشيح النماذج باستخدام جهاز تخليه هوائي Vacuum . كذلك اعتمدت الطرق الوزنية القياسية وباستخدام ميزان الكتروني حساس لقياس تراكيز الموادصلبة العالقة والكلية والمتقطيرة (SS,TSS,VSS) وحسب الفقرة (209) . استخدم جهاز pH-meter لقياس الرقم الهيدروجيني ، وجهاز DO-meter لقياس الاوكسجين المذاب ، أما درجة الحرارة فقد استخدم محوار قياسي لقياسها أما بالنسبة لقياس معدل اخذ الاوكسجين (OUR) فقد اجري طبقا لطريقة (Ramallho, 1977) (15).

### وصف النموذج المختبري

تكون النموذج المختبri الشكل (1) ، من حوض يحتوي على مياه الفضلات المراد معالجتها ، وتدخل مياه الفضلات من هذا الحوض إلى حوض التفاعل (SBR) بواسطة مضخة مختبرية يتم تشغيلها عند بدء الملحى وتوقفها عند الانتهاء منه. أما بالنسبة لحوض SBR ، ولغرض تمثيل الظروف اللااوكسيجينية يتم تشغيل المازجة ببطء لإبقاء الحمأة عالقة ومتمناسة مع مياه الفضلات الداخلية . ولغرض تمثيل الظروف الهوائية تتم تهوية المفاعل بواسطة ضاغطة هواء ومن خلال نشرات الهواء في قفر الحوض. وقد اعتدت النسب المقترنة من قبل Kerri (4) لفترات العمليات في تصميم النموذج المختبri ، وكانت سعة حوض SBR المستخدم في التجارب 16 لتر وارتفاع الماء داخله عند الاملاء 40سم. وتوجد فتحتان في جدار الحوض الزجاجي ، احداهما عليا على ارتفاع 14 سم من القاع، وهي خاصة بسحب النماذج وتصريف ماء الحوض ، والأخرى قريبة من القعر وعلى ارتفاع 5سم منه، وفائتها طرح الحمأة المركزية من الحوض . إن العمق الكبير للحوض نسبة إلى مساحته السطحية هو لضمان عدم حدوث تهوية للمفاعل بال借錢 الطبيعي الذي يمثل ظروف الـ (Anoxic). إن العمليات المتتابعة تحدث بشكل متوالي وبالازمنة الموضحة في المقدمة في نفس حوض المفاعل وفي النهاية تسحب الحمأة بعد التوقف (idle) لتنتهي دورة من الدورات وهكذا.



الشكل (1): النموذج المختبري

### النتائج و المناقشة:

جدول (1): خصائص مياه الفضلات الخام

الرقم	المواد	BOD <sub>5</sub>	الفوسفات	الأمونيا	الخاصية	درجة الحرارة °م
الهيدروجيني pH	الصلبة SS العالقة		PO <sub>4</sub>	NH <sub>3</sub>	التركيز (ملغم/لتر)	
6.8 - 7.5	60 - 200	60 - 180	13 - 7.4	34 - 18		24 - 13

الجدول (1) يبيّن بعض خصائص مياه الفضلات الخام والأشكال (2،3،4) تمثل منحنيات التوزيع التكراري التراكمي لقيم (PO<sub>4</sub>, NH<sub>3</sub>, pH) لمياه الفضلات الخام خلال فترة الدراسة التي استمرت لمدة 6 أشهر وبمعدل نموذجين أسبوعياً في سنة 2002 وأخذت النماذج عند مدخل محطة المعالجة القائمة بعد الدريئة الخشنة. لوحظ تغير في خصائص مياه المطروحتات من وقت لآخر ، ويعزى ذلك إلى تغير درجات الحرارة وإلى الفترة الزمنية المستغرقة في قطع المسافات بين المصدر ومحطة المعالجة (16) Mc Ghee.

للحظ من الشكل رقم (2) بان 80% تقريباً من قيم pH لمياه الفضلات الخام تساوي أو أقل من 7.2 ، أي أن الوسط تقريباً متوازن . ومن الشكل (3) نلاحظ بان 80% من قيم NH<sub>3</sub> لمياه الفضلات الخام أقل أو تساوي 32 ملغم/لتر وظهور القيم العالية نسبياً تعزى إلى بقايا الطعام والفضلات البشرية . ومن الشكل (4) نلاحظ بان حوالي 80% من قيم تراكيز PO<sub>4</sub> لمياه الفضلات الخام أقل أو تساوي 13 ملغم/لتر والقيم العالية نسبياً في الوسط تدل على استخدام المنظفات والصوابين بكميات أكبر .

ومن ملاحظة الشكل (5) الذي يبيّن تناقص استهلاك الاوكسجين مع الزمن في حوض SBR من بدء التهوية حتى انتهائها ، حيث أنه في البداية تتنفس الأحياء المجهرية من المواد الغذائية الداخلة فيزداد معدل اخذ الاوكسجين (OUR) وفي النهاية تحل الأحياء المجهرية الغذاء المخزون داخل الخلايا فيكون الـ OUR أوطأ قيمة (10).

وكما يلاحظ من الشكل (6) ، فإن إزالة الفوسفات تزداد مع زيادة زمن الدورة إلى أن يصل زمن الدورة إلى 12 ساعة تقريباً ، ثم بعد ذلك تزداد تراكيز الفوسفات حيث ان التهوية الزائدة خلال التفاعل تؤدي إلى إطلاق الفوسفات ثانية إلى الوسط (17). تزال الأمونيا بعملية التنفسة ، وتتأثر كفاءة الإزالة عكسياً مع قيم (F/M) وكما مبين بالشكل (7) وذلك لأن الأمونيا تتحول إلى النترات عند انخفاض الحمل العضوي وزيادة تراكيز الاوكسجين المذاب (18). في المبادئ الباليولوجية لفحص الـ BOD تتراكمد أولاً المواد العضوية الكاربونية (CBOD) ثم يليها المواد العضوية النتروجينية (NBOD) إذ أن قيمة ثابت المعدل K للتنفسة أقل من قيمته لأكسدة المواد الكاربونية (15) وذلك لأن المواد الكاربونية أسهل للتراكيد من النتروجينية . ومن أجل الحصول على درجة مقبولة من التنفسة يجب أن يكون وقت التلامس بين المطروحتات والأحياء أطول من الوقت المطلوب لإزالة

المواد الكاربونية (17). ومن ملاحظة الشكل (8) نجد أن كفاءة إزالة الامونيا تزداد مع زيادة زمن الدورة لتصبح أكثر من 90% عند 12 ساعة ثم إلى 99% تقريباً عند زمرة قدره 24 ساعة. وعند حصول عملية النترجة بصورة جيدة دون حدوث عملية نزع التتروجين denitrification فان قيمة pH الخارج يكون أقل من الداخل ، إذ أن هذه العملية نقل القاعدية (3) ، ويكون النقصان بمقدار (0.25-0.35) عند إزالة قدرها 99% تقريباً ، ومع هذا تكون قيمة pH للتصريف الخارج قريبة من التعادل . تتأثر كفاءة إزالة الامونيا بدرجة الحرارة مثلاً تتأثر بزمن الدورة ، وتزداد مع زيادة درجة الحرارة (17). وقد تم استبطان العلاقة الإحصائية الآتية من نتائج البحث، علماً أن معامل الارتباط لها ( $R^2 = 0.8$ ).

$$\% \text{ NH}_3 \text{ removal efficiency} = 3.1 \times \text{Temp} + 1.936 \times \text{cycle time} - 2.3575$$

يلاحظ من المعادلة إن الكفاءة تزداد مع زيادة درجة الحرارة بالمعامل (3.1) بينما تزداد الكفاءة مع زيادة زمن الدورة بالمعامل (1.936) ، أي أن تأثير درجة الحرارة على كفاءة إزالة الامونيا أكبر من تأثير زمن الدورة. ومن الشكل (9) نلاحظ ارتفاع معدل نزع التتروجين rate (Rn) denitrification مع زيادة نسبة F/M ، وهذا يعني بقاء نسبة من الغذاء Substrate بعد حدوث النترجة لكي يحدث نزع التتروجين، حيث تحتاج الأحياء المجهرية إلى مانح للإلكترون (electron donor) الذي يأتي من الغذاء لكي تحول الأحياء النترات إلى غاز التتروجين في الظروف اللاوكسيجينية anoxic (3) و (19). وبين الشكل (10)، زيادة معدل إزالة النترات (Rn) مع زيادة COD المذاب المتولد نتيجة إضافة حمأة أولية للمفاعل ، وأشار إلى ذلك (20) ، حيث أضاف حمأة أولية بعد أن أجرى عليها عملية تحليل مائي Hydrolysis لمدة 24 ساعة.

وعند حدوث نزع التتروجين تزداد قيمة pH للتصريف الخارج عن الداخل، وذلك لأن هذه العملية عكس عملية النترجة. وتكون الزيادة طفيفة إذا حدث نزع التتروجين بعد تنरجة كفوءة . أما إذا كانت النترجة قليلة الكفاءة فان نزع التتروجين الذي بعدها يؤدي إلى زيادة قيمة pH بمقدار يتراوح بين (0.4-0.25) وهذا يتطابق مع ما ذكره (19) و (3).

ويحدث الترسيب في SBR بشكل جيد حيث ان تراكيز المواد العالقة SS (10-Nil) ملغم/لتر في التصريف الخارج الجدول (2). وتوجد حالة خاصة يحدث بسببها صعود الحمأة نحو الأعلى بفعل غاز التتروجين المتولد عند حدوث عملية نزع للتروجين بمعدل عالي في نهاية فترة التفاعل . والذي يكون يتماس مع لبادات الحمأة، ولنقاري حدوث حالة بهذه تتم تهوية المفاعل لمدة (10-15) دقيقة عند نهاية فترة التفاعل لطرد غاز التتروجين المتولد ، وقد أشار إلى ذلك (20) Abufayad وكانت نسبة MLVSS إلى MLSS (المواد الصلبة العالقة المنطابيرة إلى المواد العالقة) تتراوح بين (0.65-0.72) حيث تقل هذه النسبة بواسطة عملية نزع التتروجين (2)، وذلك بسبب تناقص MLVSS نتيجة لاستهلاك الكاربوهيدرات داخل الخلية في هذه العملية. ومن الشكل (11) نلاحظ تراكم الفسفات بسبب إطلاق الخلايا له في فترة الـ Anoxic من مرحلة الملي، وعند بدء التهوية سرعان ما تقوم الأحياء المجهرية بانتزاع الفوسفات من المطروحات.

ويلاحظ من الشكل (12)، إن الامونيا تتراءم أيضاً في الظروف اللاوكسيجينية وتنخفض في فترة التهوية، إلا إن الكفاءة ليست عالية، إذ لم تحدث الظروف المؤاتية للإزالءة والتي أشار إليها (18) من انخفاض الحمل العضوي وبقاء الاوكسيجين المذاب بتركيز عال. في حين نجد من الشكل (13) إن النترات أزيلت بسرعة خلال فترة الملي اللاوكسيجيني لتوافر الغذاء العضوي، إذ أن النترات موجودة من الدورة السابقة لأن محتوى المطروحات الخام من النترات قليل. ومع بدء التهوية وحصول النترجة يزداد تركيز النترات وفي المرحلة الاوكسيجينية Anoxic التالية تزال النترات وذلك بالاعتماد على مخزون الخلايا من الكاربوين.

عند زمرة 24 ساعة ، الشكل (b-16) يلاحظ أن الفوسفات أزيلت بنسبة 81% ووصلت إلى أعلى قيمة لها عند زمرة 8 ساعات حيث هنا مدة الـ aerobic تساوي مدة الـ anoxic وبيين الشكل (c-16) إن انخفاض تركيز الفسفات من قيمته العظمى يحدث مترافقاً مع هبوط منحني معدل اخذ الاوكسيجين (OUR) من قيمته العظمى أيضاً، وهذا دليل على نشاط الأحياء المجهرية، وتتوفر الظروف المخبرة لها على انتزاع الفسفور ، والتي أشار إليها Kiley (3).

إن تخمر المواد العضوية بواسطة الأحياء المجهرية من نوع متغير التغذية نتج عنه مواد عضوية قصيرة السلسلة ، سهلة للأيض من قبل الأحياء المجهرية التي تقوم بازالة الفوسفور، وان انخفاض تراكيز النترات إلى الحدود الدنيا، (الشكل 17-b) شجع على تكاثر هذا النوع من الأحياء المجهرية.

وبعد الزمن 8 ساعات من هذه اللورة (24 ساعة) تبدأ الأحياء المجهرية بإطلاق الفوسفات المنتشرة (الشكل 16-b) ، وذلك بسبب خروج النظام عن طور الإزالة البایولوجي للفوسفور ، لأن زيادة النترات التي تعد مثبتة لهذه العملية، تسمح لانتعاش مجموعات أخرى تنافس الأحياء المجهرية الخاصة بإزالة الفوسفور على الغذاء وتحد من نموها ونشاطها . ومن ملاحظة الشكل (a-17) نجد أن كفاءة إزالة الامونيا ووصلت إلى 99% عند الزمن 10 ساعة من بدء الدورة التشغيلية واستقرت تقريباً عند هذه القيمة إلى نهاية مدة الدورة البالغة 24 ساعة. إلا إن تركيز النترات انخفضت في الظروف الاوكسيجينية من فترة الملى ووصلت إلى الصفر الشكل (b-17). ثم ازدادت في الظروف الهوائية ووصلت إلى أعلى قيمة لها عند أوطا تركيز للامونيا (الشكل 17-a) . ولم تنخفض إلا قليلاً في الظروف الاوكسيجينية عند نهاية التفاعل المؤدي إلى نزع التتروجين. وبعزم السبب في ذلك إلى نفاد المواد العضوية ، وإن الأحياء المجهرية استهلكت مخزونها الداخلي في عملية الترجمة . والشكل (c-17) يبين العلاقة المباشرة بين  $\text{OUR}$  ونسبة الترجمة.

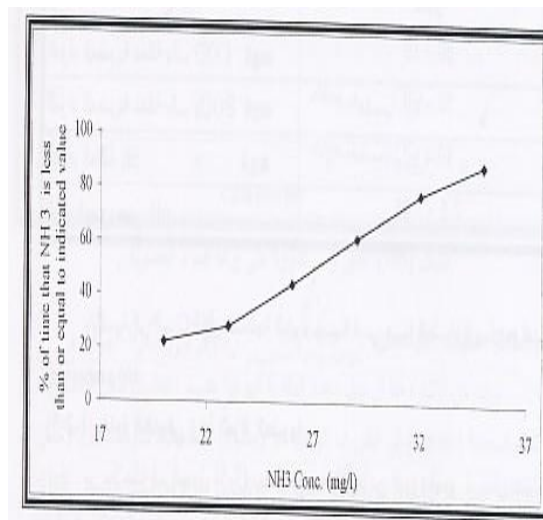
في زمن الدورة 24 ساعة أزيلت الامونيا بكفاءة عالية ، ولم تتأثر الفوسفات والنترات بالمعالجة.

#### عند زمن دورة 16 ساعة:

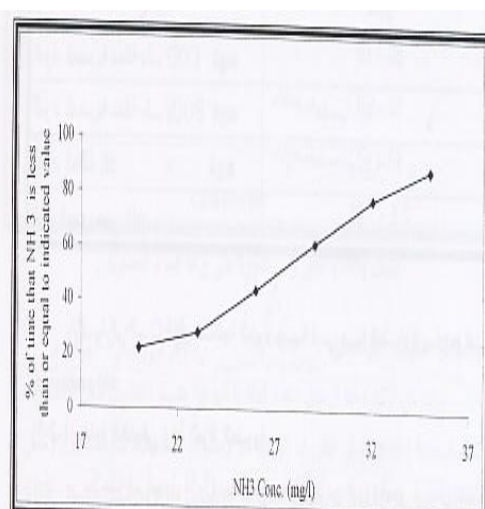
للغرض إيجاد زمن دورة يزيل الملوثات  $\text{NO}_3, \text{NH}_3, \text{PO}_4$  بكفاءة مقبولة ، ومن خلال ملاحظة نتائج التشغيل بأذمان دورة 12، 16، 24 ساعة. فقد وجد بان المرحلة اللاوكسيجينية في بداية العملية مهمة في إزالة الفوسفات وان لا تقل عن 4 ساعات . وفي فترة التفاعل يعمد إلى إطالة فترة الظروف الهوائية لإزالة الامونيا ( حوالي 6 ساعات). وبنفس الوقت إن تحفظ الأحياء المجهرية بجزء من مخزونها الداخلي لنزع التتروجين في الظروف اللاوكسيجينية بعد التهوية من فترة التفاعل ، وعلى هذا الأساس تم اختبار زمن دورة 16 ساعة. والأشكال (14، 15) تبين تركيز النترات مع الزمن أثناء الدورة التشغيلية 16 ساعة .

أزيلت المواد العضوية على شكل COD بكفاءة 87% ، والفوسفات أزيلت بكفاءة 67%، وحدث إطلاق قليل للفوسفات في مرحلة اللاهوائية anoxic في نهاية التفاعل، فيمكن تقليل زمن هذه المرحلة حيثما يتوافر الغاء لنزع التتروجين ، لترتفع بعد ذلك كفاءة إزالة الفوسفات إلى 81%. أما الامونيا فقد أزيلت بكفاءة 99% إلا أنه لوحظ عدم حصول انخفاض كبير للنترات، ومع ذلك كانت الإزالة أفضل مما هي في حالة أوقات دورات أخرى ، فكان تركيز النترات بعد المعالجة 10.8 ملغم / لتر.

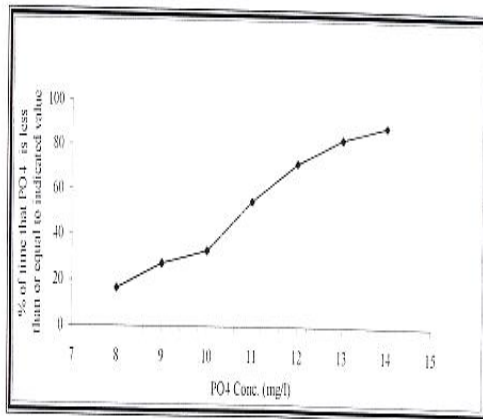
والجدول (2) يقارن بين خصائص المطروحتات المعالجة في نظامي SBR بموجب النموذج المختبري في هذا البحث ولمدة 16 ساعة، ومحطة المعالجة القائمة في مجمع المستشفيات والتي تعتمد نظام التهوية المطولة . Activated Sludge –extended aeration



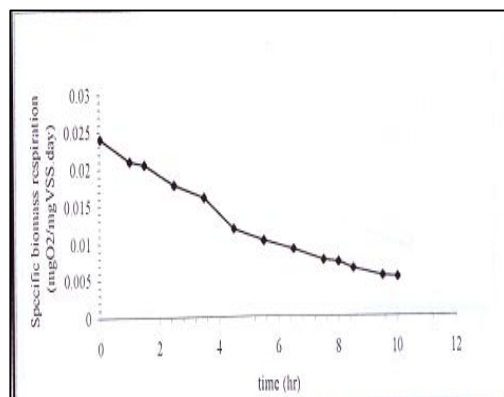
الشكل (2): منحني توزيع التكرار التراكمي لقيم  $\text{pH}$  في مياه المطروحتات الخام



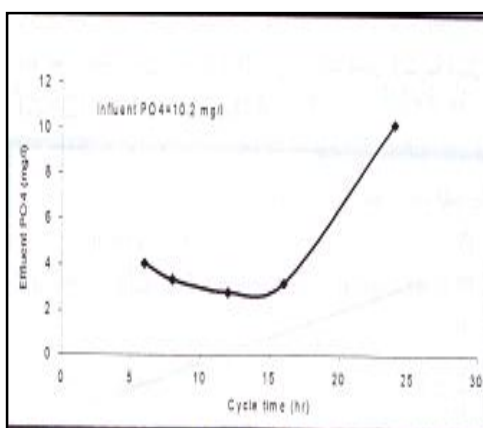
الشكل (3): منحني توزيع التكرار التراكمي لقيم  $\text{NH}_3$  في مياه المطروحتات الخام



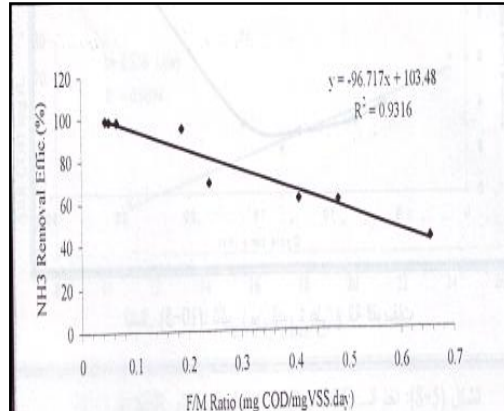
الشكل(4): منحني توزيع التكرار التراكمي لقيم PO<sub>4</sub> في مياه المطروحتات الخام



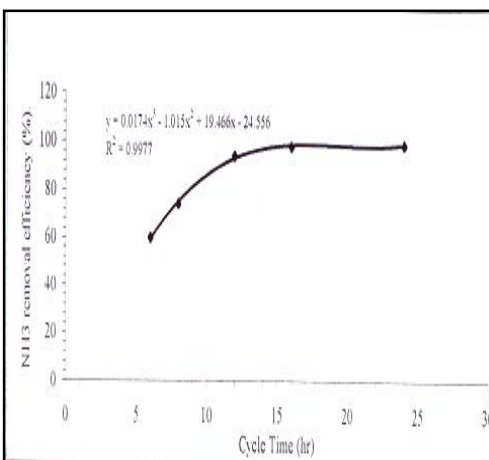
الشكل(5): تغيرات تنفس الأحياء المجهرية خلال تشغيل نظام SBR



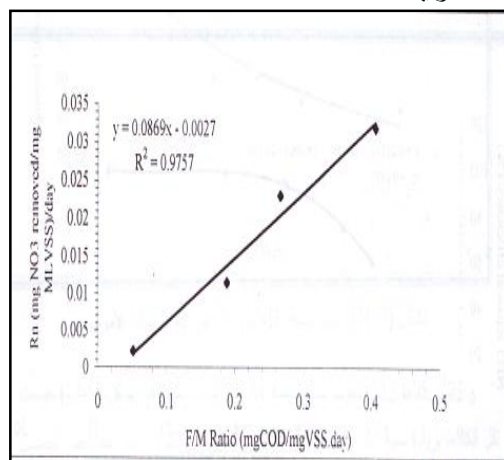
الشكل (6): تأثير زمان الدورة على إزالة الفوسفات



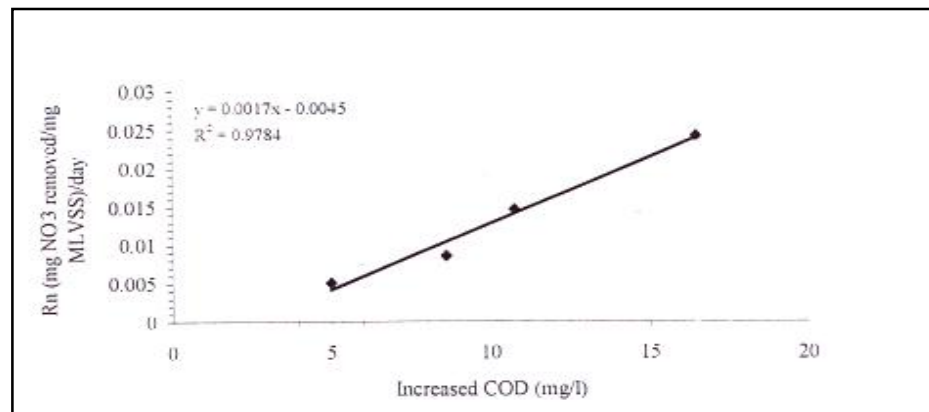
الشكل (7): تأثير نسبة F/M على كفاءة إزالة الأمونيا



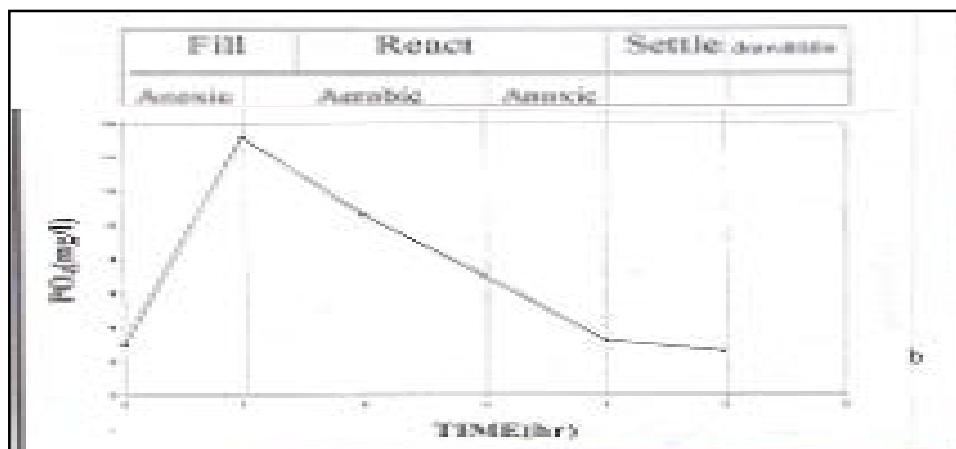
الشكل (8): تأثير زمان الدورة على إزالة الأمونيا



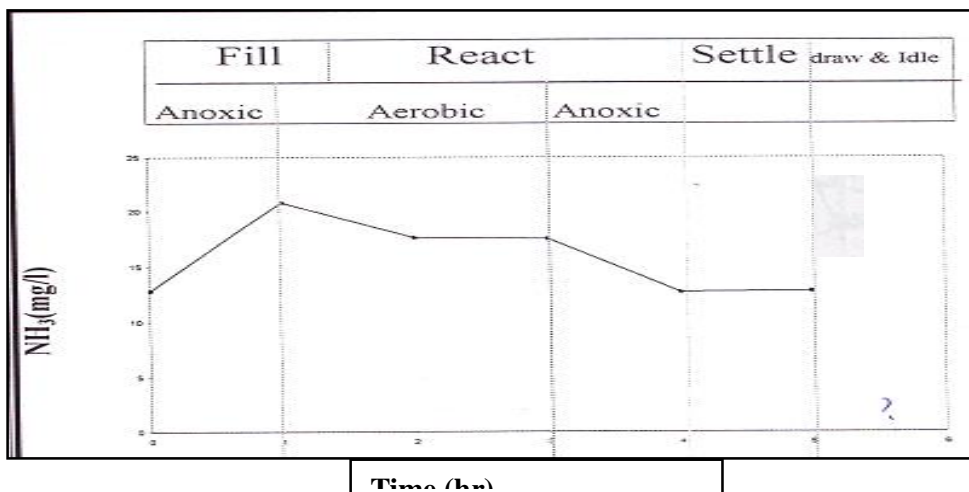
الشكل (9): تأثير نسبة F/M على معدل تزيل النتروجين



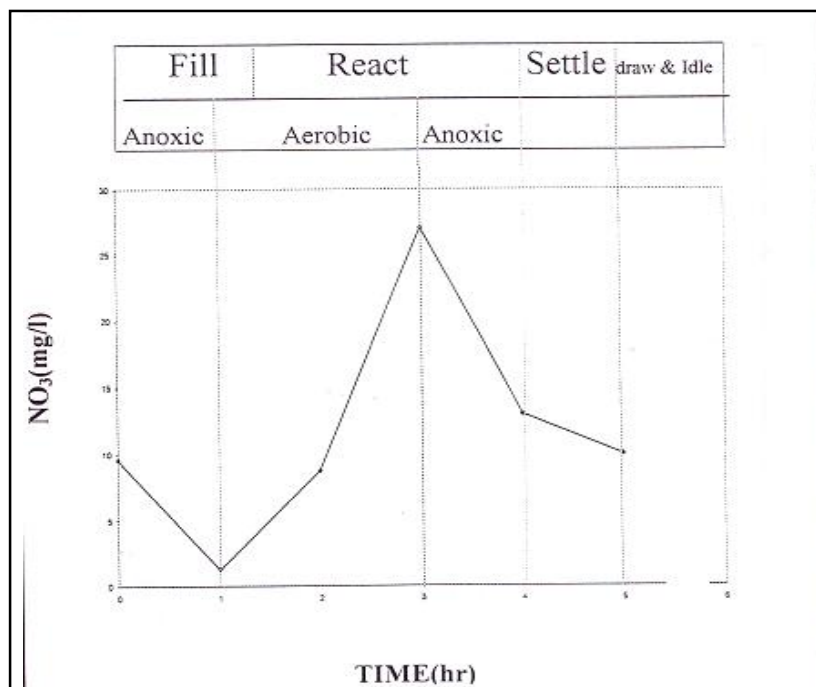
الشكل (10): تأثير إضافة الحمأة الأولية على إزالة النترات



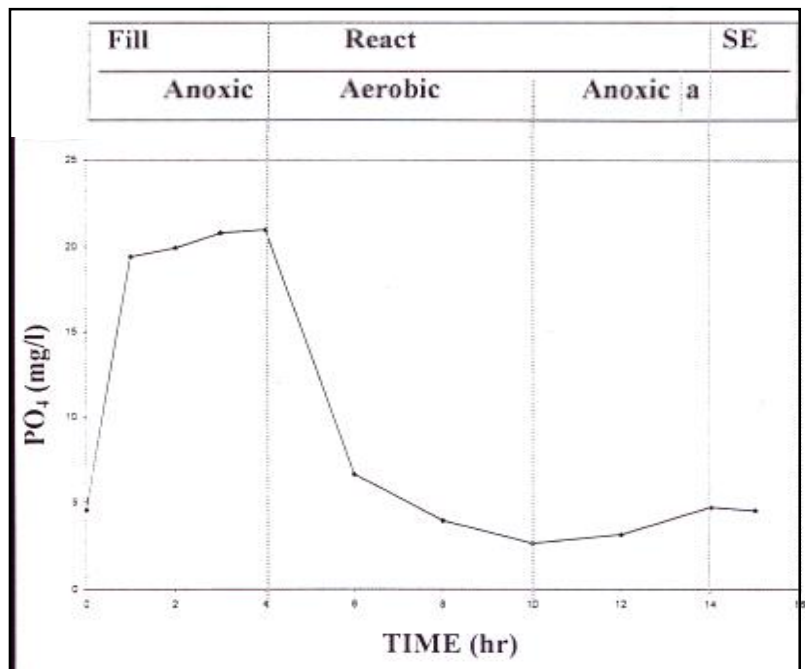
الشكل (11): تغير تركيز الـ PO<sub>4</sub> خلال تشغيل نظام SBR عند زمن دورة (6) ساعة



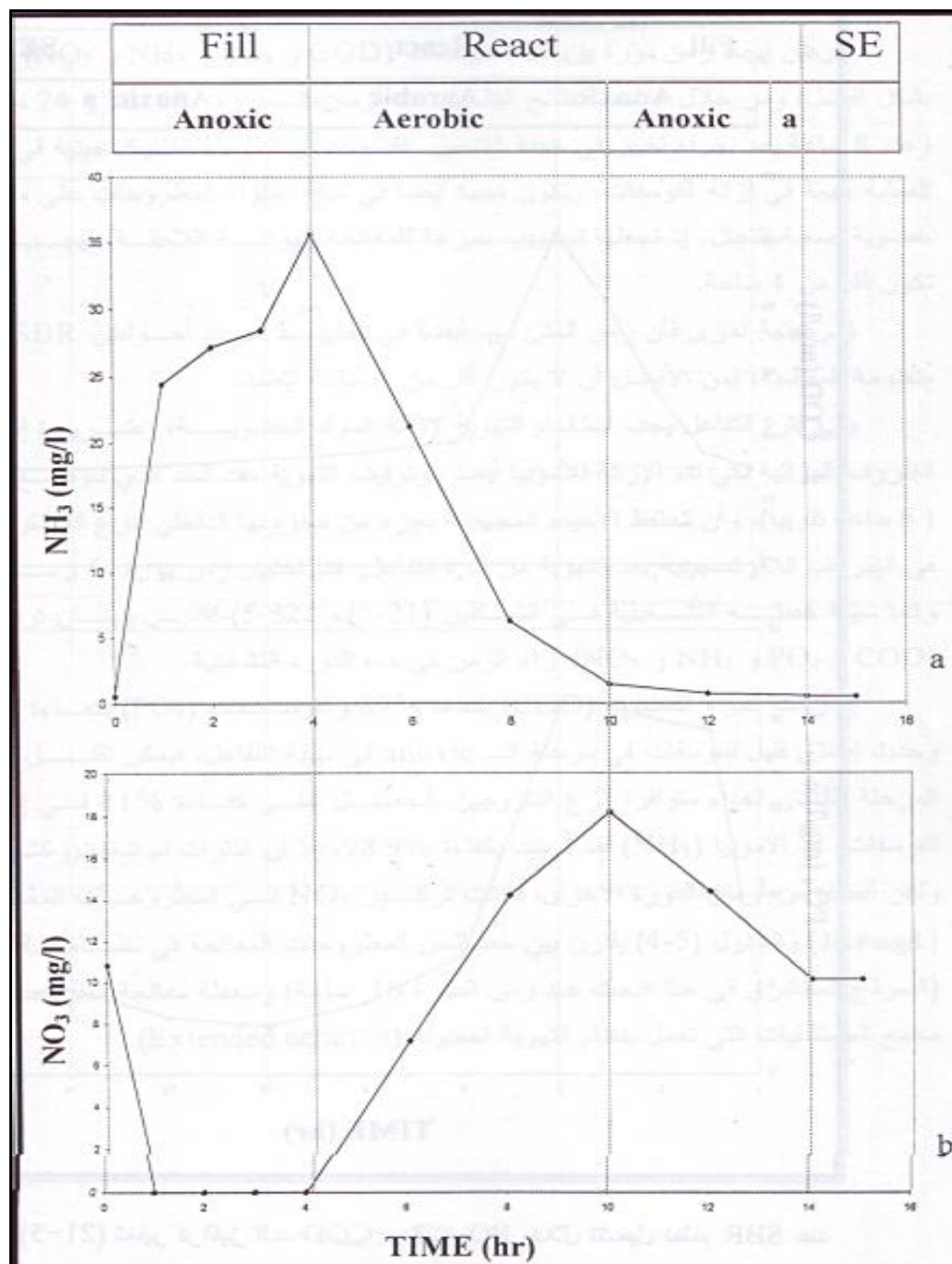
الشكل (12): تغير تركيز الـ NH<sub>3</sub> خلال تشغيل نظام SBR عند زمن دورة (6) ساعة



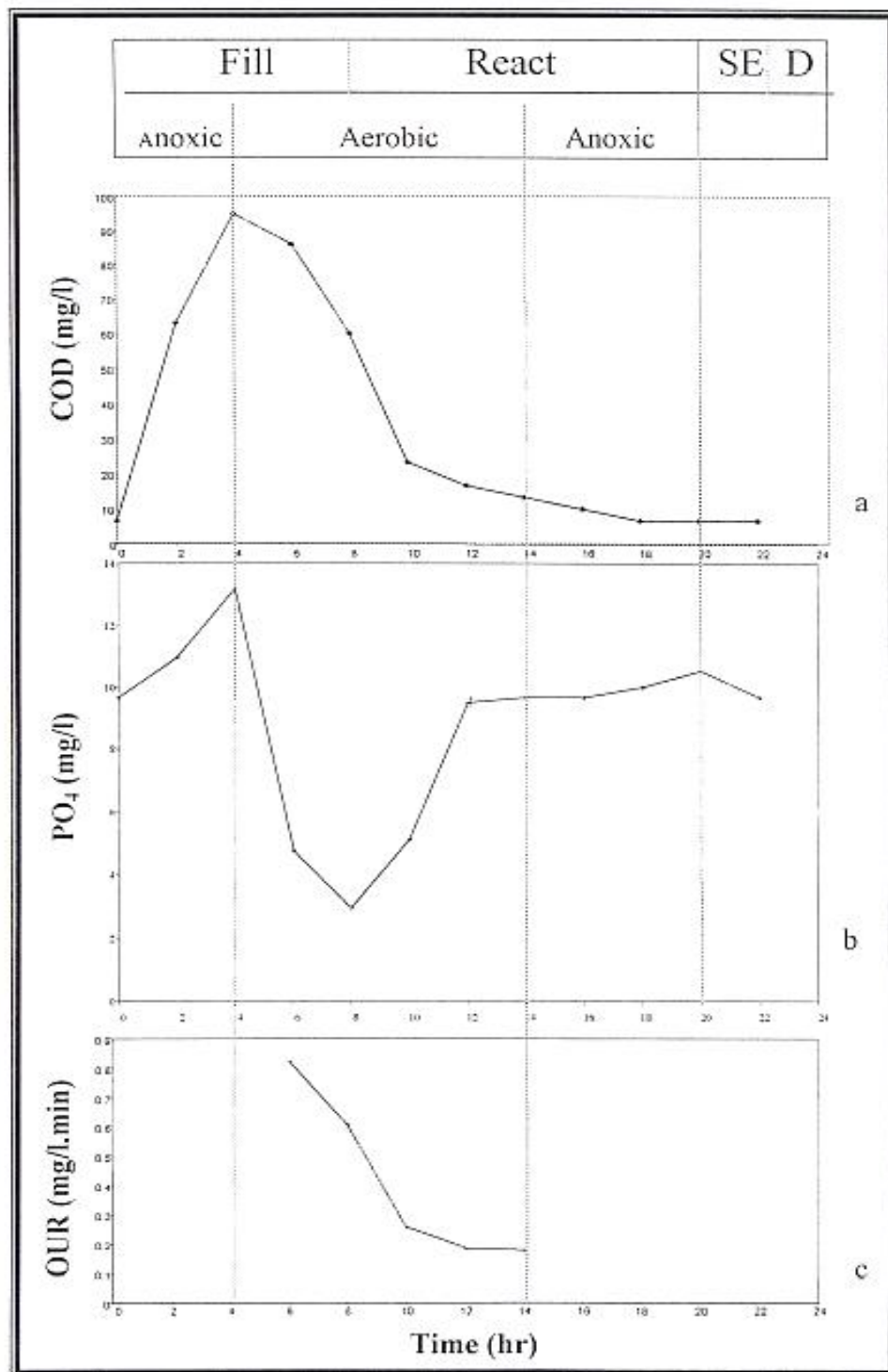
الشكل (13): تغایر تراکیز الـ NO<sub>3</sub> خال تشغل نظام  
عند زمان دورة (6) ساعه SBR



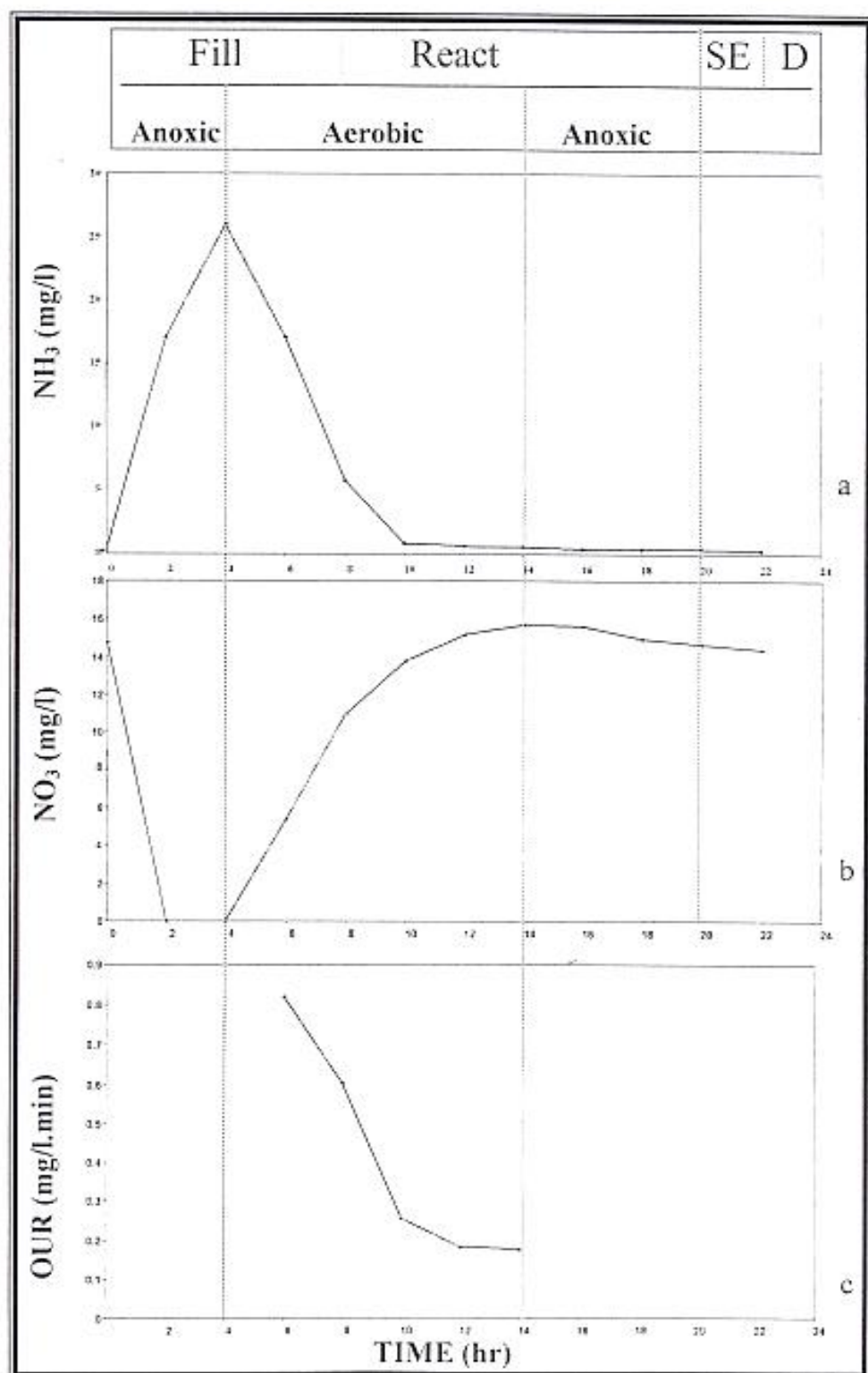
الشكل (14): تغایر تراکیز الـ PO<sub>4</sub> خال تشغل نظام  
عند زمان دورة (16) ساعه SBR



الشكل (15): تغير تركيز  $\text{NH}_3$  و  $\text{NO}_3$  عند زمن دورة (16) ساعة SBR



الشكل (16): تغير تراكيز الـ COD و الـ  $\text{PO}_4$  و الـ OUR خلال تشغيل نظام SBR عند زمن دورة (24) ساعة



الشكل (17): تغيرات تركيز الـ  $\text{NH}_3$  والـ  $\text{NO}_3$  والـ OUR خلال تشغيل نظام SBR عند زمن دورة (24) ساعة

**جدول (2): خصائص مياه الفضلات بعد المعالجة في نظام SBR (النموذج المختبري عند زمن 16 ساعة) و محطة المعالجة القائمة في مجمع المستشفيات (Extended aeration)**

محطة المعالجة القائمة	SBR	الخاصية (ملغم/لتر)
7.8 – 6.9	7.61 – 7.13	pH
100 - 20	36 - 30	COD
35 - 10	20 - 13	BOD <sub>s</sub>
60 - 15	10 - Nil	المواد العالقة SS
12 - 3.5	5.9 - 2	الفوسفات PO <sub>4</sub>
2.3 - 0.6	- Nil 0.53	الأمونيا NH <sub>3</sub>
36 - 24	13 - 10	النترات NO <sub>3</sub>

#### الاستنتاجات:

استنادا إلى النتائج المستحصلة والمناقشات التي تمت في الفقرة السابقة يمكن الخروج بالاستنتاجات الآتية:

1- تتأثر كفاءة إزالة الأمونيا بزمن الدورة وبدرجات الحرارة وقد تم استبطاط العلاقة الإحصائية التالية من نتائج البحث.

$$\text{معامل الارتباط } R^2=0.8. \quad \text{كفاءة إزالة الأمونيا } (\%) = 3.1 \times \text{Temp} + 2.3575 \times \text{cycle time}$$

2- الرقم الهيدروجيني pH للتصريف بعد المعالجة يميل بمقدار قليل نحو القاعدية (7.61-7.13).

3- تتحقق إزالة جيدة للمواد العالقة (90-100)% ويعزى ذلك إلى حصول الترسيب بكفاءة عالية والتخلص الحيوي.

4- تتحقق نسبة إزالة للفوسفات بحدود (61-67)%. إزالة الفوسفات تزداد مع زيادة زمن الدورة إلى حد زمن دورة قدره 12 ساعة تقريبا، ثم بعد هذا الوقت تزداد تراكيز الفوسفات مرة أخرى ذلك لأن التهوية الزائدة خلال فترة التفاعل تؤدي إلى إعادة إطلاق الفوسفات.

5- تتحقق إزالة للأمونيا قدرها حوالي 99%.

6-أفضل زمن دورة للإزالة هو:

أ. مليء لا أوكسيجيني لمدة 4 ساعات، يليه.

ب. تهوية لمدة 6 ساعات ، يليه.

ج. ترسيب لمدة حوالي 0.5 ساعة، يليه.

د. سحب و توقف لمدة ساعة واحدة.

هـ. المجموع حوالي 11.5 ساعة.

و. في حالة إزالة النترات أيضاً فستستخدم 4 ساعات تهوية بدل 6 ساعات ، و ساعتان مزج بطيء (ظروف لا أوكسيجينية).

#### المصادر:

1. و عد محمد علي عباس، "معالجة مياه فضلات المستشفيات بطريقة الجرعة المتتابعة"، 2002، اطروحة ماجستير، هندسة مدنية(بيئة)، كلية الهندسة، جامعة الموصل.
2. Metcalf & Eddy, Inc., 1979, "Wastewater Engineering", 2<sup>nd</sup> ed., McGraw -Hill, Inc., N.Y., USA.
3. Kiley, Gerard, 1997, "Environmental Engineering", McGraw -Hill, England.
4. Kerri, K.D., 1998, " Operation of waste treatment plants", Vol. II, 5<sup>th</sup> ed., Office of programs, California State University, Sacramento, USA.
5. Irvine, et al., 1977, " Investigation of fill and batch periods of sequencing batch biological reactors", J. of Water Research, Vol. 11, PP. 713 – 717.
6. Melcer, H. Bedford. et.al.,1987, "Conversion of small municipal wastewater

- treatment plants to sequencing batch reactors”, J. WPCF, Vol. 59, No.2, PP.79-85.
- 7. Irvine & Bharmarah, 1979, “Sequencing batch treatment of ww in rural areas “, J. WPCF, Vol.51, No. 2, PP. 244-254.
  - 8. Alleman et. al., 1989, “Automation of batch ww treatment systems using programmable logic controllers”, Wat. Sci: Tech., Vol.22, PP 1271-1282.
  - 9. Arora et. al., 1985, “Technology evalution of sequencing batch reactors” , J.WPCF,Vol.57, No.8, PP. 867-875.
  - 10. Irvine & Richter, 1976, “Computer simulation & design of sequencing batch biological reactors”, 3<sup>rd</sup> industrial waste conference, purdue university.
  - 11. Manning, & Irvine, 1985, "The biological removal of phosphorus in & sequencing batch reactor", J.WPCF, Vol.57, No.1, PP.87-94.
  - 12. Jones, Schroeder, & Wilder, 1990, "Denitrification in abatch wastewater treatment system using sequestered organic substances", J. WPCF, Vol.62, No.3, PP.259-267.
  - 13. Pruss, A.& Townend, W.K., 1998, “Teacher’s Guide : Mangement of Waste from health –cave activities”,WHO, Geneva.
  - 14. APHA, AWWA, WPCF, 1985, “Standard methods for the Examination of Water and WasteWater “, 16<sup>th</sup> ed., Washington D.C., USA.
  - 15. Ramalho, R.S., 1977, “Introduction to WasteWater treatment precesser”, Academic press Inc., Canada.
  - 16. Mc Ghee, T.J., 1991, “Water Supply and Sewerage”, 6<sup>th</sup> ed, Mc Graw- Hill, USA.
  - 17. Winkler, M.A., 1981, “Biological treatment of WasteWater” Ist ed., Ellis Horwood Ltd. Publishers, England.
  - 18. Irvine, R.L., and Ketchum, L.H., Breyfogle, R.and Barth,E.F., 1983, “ Municipal application of sequencing bath treatment”, J.WPCF,Vol.55,No.5, PP. 484-488.
  - 19. Gaudy,A.F., and Gaudy ,E.T., 1980, “Microbiology for environmental scientists & Engineers ” , Mc Graw-Hill, Inc., New York,USA.
  - 20. Abufayad, A.A. & Schroeder, E.D., 1986, “Performance of SBR/ denitrification with a primary sludge Carbon source ”, J.WPCF, Vol.58,No.5,PP. 387-397.